

# 拉曼光谱

## • 拉曼光谱概述

- 拉曼(Raman)光谱与红外光谱(IR)均属分子振动光谱，二者都是研究分子振动能级的跃迁。**二者得到的信息相互补充**，是有机官能团鉴定及物质微观结构研究的两种常用方法。
- 但就原理而论，**红外光谱与拉曼光谱有很大区别**。前者是吸收光谱，后者为散射光谱。一束光通过样品时，可能发生透射(吸收)、反射，也可能发生散射，其中有一种散射为拉曼散射，它与样品分子的振动能级相关，反映了分子的微观结构。
- 由于光谱产生的原理不同，故**拉曼光谱在分析方法和适用范围等方面与红外光谱相比，有其独到之处**。

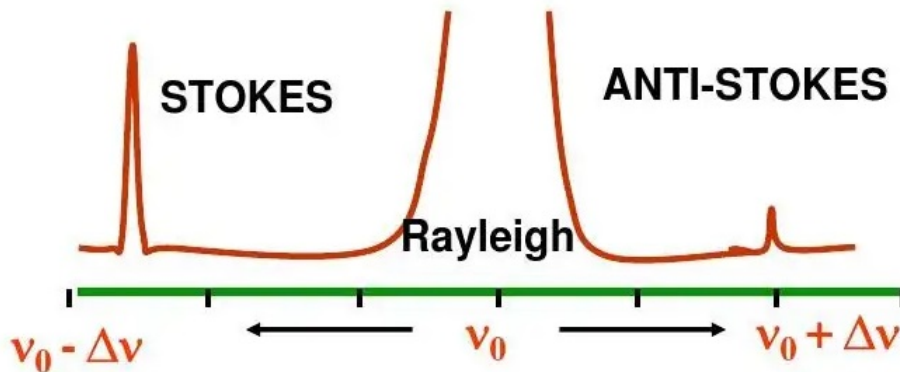
## • 拉曼光谱的基础原理？

- **一种无损的分析技术**拉曼光谱是一种无损的分析技术，它是基于光和材料内化学键的相互作用而产生的，可以提供样品化学结构、相和形态、结晶度以及分子相互作用的详细信息。
- **光子与分子产生相互作用**当光线照射到分子并且和分子中的电子云及分子键结产生相互作用，就会发生拉曼效应。对于自发拉曼效应，光子将分子从基态激发到一个虚能量状态。当激发态的分子放出一个光子后并返回到一个不同于基态的旋转或振动状态。在基态与新状态间的能量差会使得释放光子的频率与激发光线的波长不同。
  - 光散射是自然界常见的现象。当一束光照射介质时，除被吸收之外，大部分是被反射或透过，另一部分光被介质向四面八方散射，在散射光中，大部分是**瑞利散射**，小部分是**拉曼散射**。
  - **瑞利散射**：弹性碰撞；无能量交换，仅改变方向；频率不发生改变辐射散射( $\nu = \nu_0$ )；强度与 $\lambda_0^4$ 的四次方成反比
  - **拉曼散射**：非弹性碰撞；方向改变且有能量交换；频率发生改变的辐射散射( $\nu = \nu_0 \pm \Delta\nu$ )
- 拉曼散射是一种非弹性散射，通常用来做激发的激光范围为可见光、近红外光或者在近紫外光范围附近。激光与系统声子做相互作用，导致最后光子能量增加或减少，而这些能量的变化可得知声子模式。这和红外光吸收光谱的原理基本相似，但二者所得到的数据结果是互补的。
  - 拉曼散射是由于能量透过光子和分子之间的相互作用而传递，就是一个非弹性散射的例子。
- 如果最终振动状态的分子比初始状态时能量高，即**分子从基态跃迁到激发态**，所激发出来的光子频率则较低，以确保系统的总能量守恒。这个频率的改变被命名为**Stokes shift**。如果最终振动状态的分子比初始状态时能量低，即**分子从激发态跃迁到基态**，所激发出来的光子频率则较高，这一个频率的改变被命名为**Anti-Stokes shift**。
- **光的波动性原因，拉曼光谱的产生源于分子振动过程中诱导偶极矩的变化**：分子在光电场E中，产生诱导偶极矩即感应偶极矩 $\rho$ ，
$$\rho = \alpha E$$
其中 $\alpha$ 为极化率，在分子振动过程中，若其诱导偶极矩发生变化，则分子会与入射光子进行能量交换，产生拉曼光谱。

- 极化率 $\alpha$ ：衡量分子在电场作用下发生极化的难易程度；
- 分子中两原子距离最大时， $\alpha$ 也最大；
- **光谱选律**：只有引起极化率变化的分子振动才产生拉曼散射；
- 拉曼散射强度与极化率成正比关系；
- 分子极化即分子由于受到外界电场的影响导致的正负电荷中心的距离变大的现象；

### • 拉曼光谱图怎么去看？

- 拉曼光谱图以散射强度为纵坐标，拉曼位移为横坐标，瑞利线位置为零点。一副完整的拉曼光谱包括瑞利线，斯托克斯线，反斯托克斯线。



图一 拉曼散射光谱图

- 瑞利线强度最大， $\Delta v=0$ ；
- 斯托克斯线和反斯托克斯线对应，完全对称的分布在瑞利线两侧；
- 反斯托克斯线比斯托克斯线弱得多，一般记录得拉曼光谱只取斯托克斯线，且略去负号。
- **拉曼位移**：散射光频率与激发光频率之差： $\Delta v=|v_0 - v_s|$ ，**拉曼位移是拉曼光谱法进行结构与定性分析的依据**
  - 表征分子振-转能级的特征物理量；
  - 对不同物质： $\Delta v$ 不同；
  - 对同一物质： $\Delta v$ 与入射光频率无关；
- **谱峰分析**：
  - **谱峰强度** 反映了物质浓度，分子取向（偏振）；**谱峰位置** 反映了官能团，化学结构，还可以进行化学计量学分析；**谱峰位移** 反映了物质的应力/应变，变形，压力，温度；**谱峰比值** 反映了物质的相对浓度；**偏振** 反映分子取向；**谱峰的半高宽** 反映物质的结晶度，缺陷，掺杂。

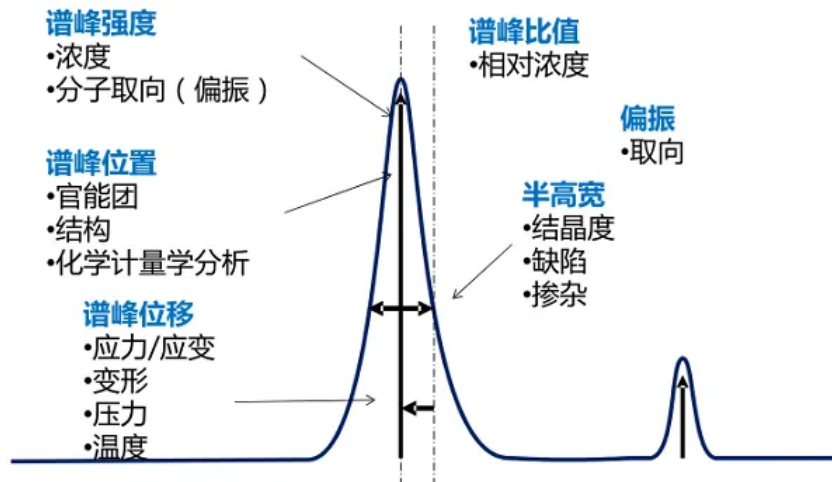


图2 拉曼光谱图谱峰分析

- **退偏度(depolarization ratio):** 分子通常有特定的空间取向，因此对某一分子而言，入射光为偏振光引起的拉曼散射光也是偏振光，但其偏振方向不一定一致。而对于一个多分子体系，各个分子的空间取向不同且呈无规分布，因此即使入射的是平面偏振光，整体散射光却是非完全偏振的，这一现象称为**退偏**。
  - 在入射激光的垂直与平行方向放置偏振器，分别测得散射光强，退偏度为
 
$$\rho_p = \frac{I_{\perp}}{I_{\parallel}}$$

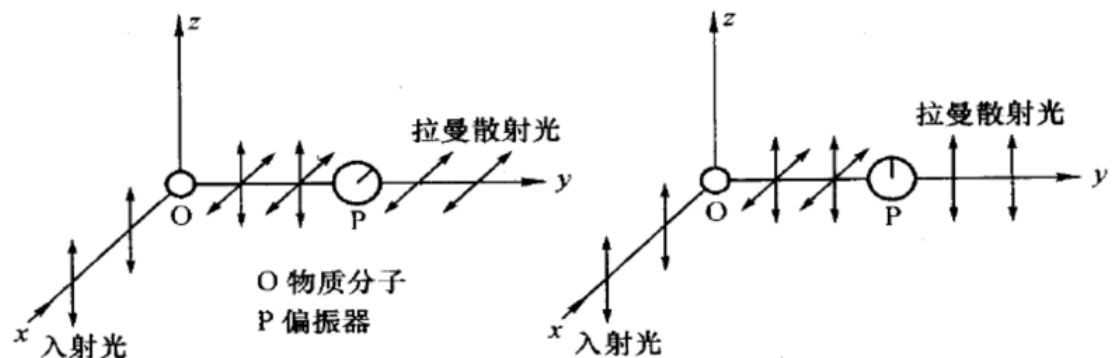


图3 拉曼光谱退偏度测量实验

- $\rho_p$ 值越小，分子振动对称性越高。当 $\rho_p$ 几乎趋近于0时，为**全对称分子振动 (各向同性)**；当 $\rho_p$ 介于0到 $\frac{3}{4}$ 之间，为**非对称分子振动 (各向异性)**。
- 例：四氯化碳( $\text{CCl}_4$ )的拉曼偏振光谱
  - $459 \text{ cm}^{-1}$ 所对应的振动， $\rho_p \sim 0$ ，各向同性。
  - $314$ 和 $218 \text{ cm}^{-1}$ 所对应的振动， $\rho_p$ 较大，为各向异性。

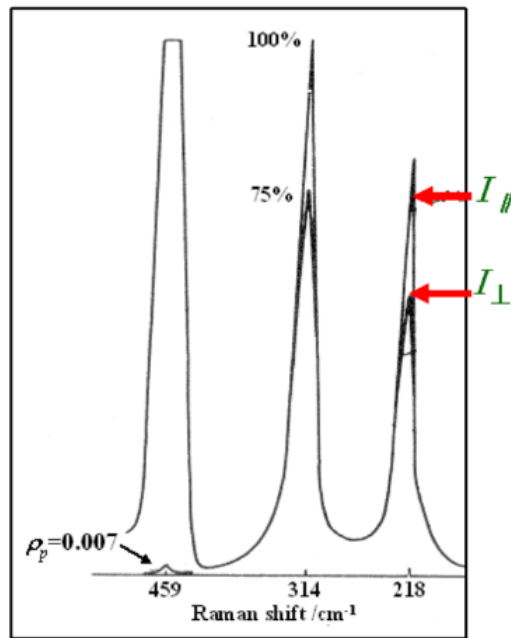


图4 四氯化碳拉曼偏振光谱

- **拉曼光谱图中高度和强度的区别？**

- 拉曼光谱图中的谱峰的高度反映了拉曼散射的强度。

- **信噪比(Signal Noise Ratio SNR)计算的方法**

- 用于计算信噪比的公式可能会对任何特定光谱数据集的表现灵敏度产生显著影响。

- **FSD方法(First Standard Deviation Method), 第一标准方差法, 也称为平方根(SQRT)方法:** 科学家将SNR定义为峰值信号减去背景信号的差值, 再除以背景信号的差值。

$$\frac{S}{N} = \frac{S_{397\text{nm}} - S_{450\text{nm}}}{\sqrt{S_{450\text{nm}}}}$$

峰值信号在水拉曼光谱图的拉曼位移 $397\text{nm}$ 处(其从 $350\text{nm}$ 处激发), 在没有拉曼信号的区域 $450\text{nm}$ 处测量噪声。对于一个完美的光学系统, 在 $450\text{nm}$ 处没有信号, 因为那里没有拉曼发射, 然而, 所有的光电系统都有一定程度的杂散光和噪声, 这将导致在 $450\text{nm}$ 处产生信号。上述公式假设噪声受到泊松统计量控制, 因此, 可以计算为在 $450\text{nm}$ 处的基线信号计数的平方根。

- **均方根法(RMS Method):** 另一种常用的方法是用峰值信号与背景信号的差值除以背景信号噪声的均方根(RMS)值。公式如下所示: 
$$\frac{S}{N} = \frac{S_{397\text{nm}} - S_{450\text{nm}}}{N_{\text{rms, background}}}$$
 
$$N_{\text{rms}} = \sqrt{\frac{\sum_i^n (S_i - \bar{S})^2}{n}}$$
 其中基于时间的背景信号被测量 $n$ 次,  $S$ 是整个动力学扫描的平均强度值。

- **为什么拉曼光谱图中会产生数据溢出的现象?** 待解决问题: 为什么会产生数据溢出已经大致了解, 剩下就是解决通过拉曼光谱图判断是否产生了数据溢出?

- 当拉曼分析仪每秒发射的光子数量增加时候, 可以提供卓越的光谱数据, 从而提高PAT(便携式家用电器)测量的精度和灵敏度。然而, 光子流有时会过载或饱和CCD内的光检测器(CCD图像传感器可直接将光学信号转换为模拟电流信号, 电流信号经过放大和模数转换, 实现图像

- 的获取、存储、传输、处理和复现。) , 妨碍了光谱范围内某些区域的可靠强度测量。在极端情况下, 光子产生的电子会溢出到CCD光敏表面的相邻区域, 这一现象称为**光晕(blooming)**
- **饱和和泛光是所有数码相机传感器 (包括CCD和CMOS传感器) 中都会出现的现象**, 影响它们的定量和定性成像特性。如果每个单独的像素都可以被认为是存放电子的桶或井(bucket or well), 饱和是指井被完全填满的情况。
  - **为什么拉曼光谱图纵坐标的上限是65535?** 光学拉曼光谱仪利用CCD将光子转换为电子, 电子由相机电子设备中的特殊转换器电路数字化。本质上, CCD每个像素内积累的电子数转换为16位数字 (值从0到65535) , 与光谱范围内某一点的拉曼光谱强度成线性比例。在几毫秒内输出数千个强度值, 传输到控制计算机, 然后绘制成仪器波数范围内的光谱图。
  - **避免检测器饱和(saturate)和泛光的方法, 如何从光谱数据中获得最佳测量质量?**
    - 为了尽可能获得最好的光谱或图像, 有必要通过最大化撞击CCD的光子来获得最多的信号。这个目标可以通过增加曝光时间, 从而让每个像素收集更多的光子来实现。但是, 如果光子数量超过某个像素点的像素井的容量。则测得的电子响应将变为非线性, 并且光谱或图像在该位置变得饱和。本质上, 每个像素都有一个饱和电荷水平, 当达到饱和电荷水平时, 多余的光生电荷会溢出到图像区域中最近的相邻孔中。这种效果通常被称为“高光溢出”或“过饱和”, CCD 检测器的结构使得这种高光溢出预计主要发生在与饱和像素相同的列中 (垂直) 。
    - 在没有正确滤镜的情况下拍摄太阳照片, 可以看到过饱和现象, 如图5所示



图5 “过饱和”的太阳图像

图5展示了太阳本身的光晕。结果, 太阳图像区域中的光子溢出该区域的井, 并通过CCD井垂直传输, 从而在图像中看到亮线。

当光谱仪中的 CCD 检测器过饱和时, 也会出现同样的现象。当曝光对于检测器的饱和电荷水平来说太高时, 该区域的光谱变得饱和, 并且可以在光谱图像中看到光晕。

- 图6向我们展示了一种简单分析咖啡因的方法, 即咖啡因在三种不同饱和度下的光谱。

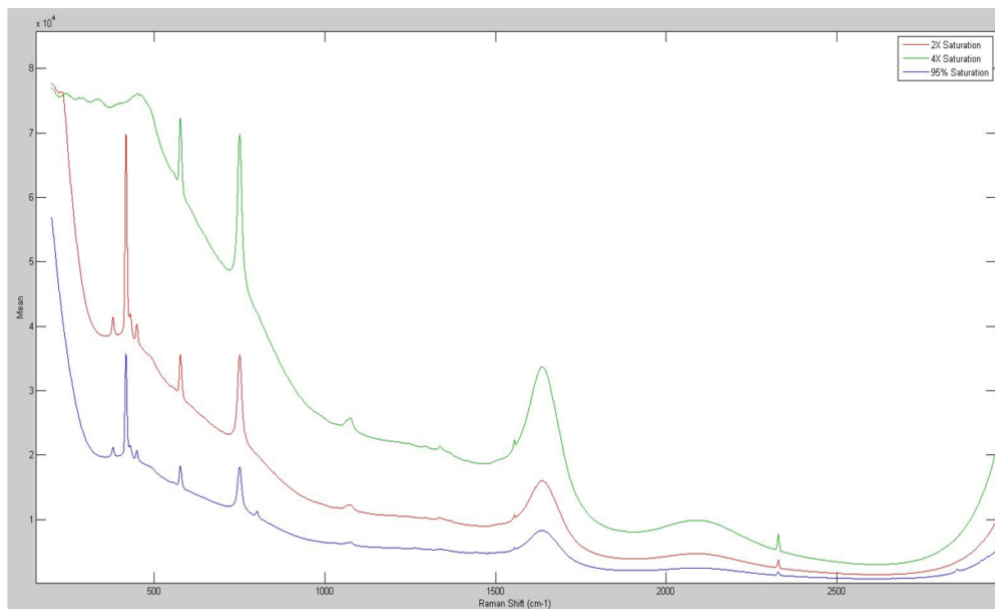


图6 咖啡因在三种不同饱和度下的光谱

饱和度分别为95%饱和度、200%饱和度和400%饱和度。光谱的底波数区域在这些级别中的每一个中看起来都明显不同。

- 如果我们只看光谱的低波数部分（图7），差异会变得更加明显。正如预期的那样。95%的饱和光谱（蓝色）没有显示出饱和或泛光的现象。

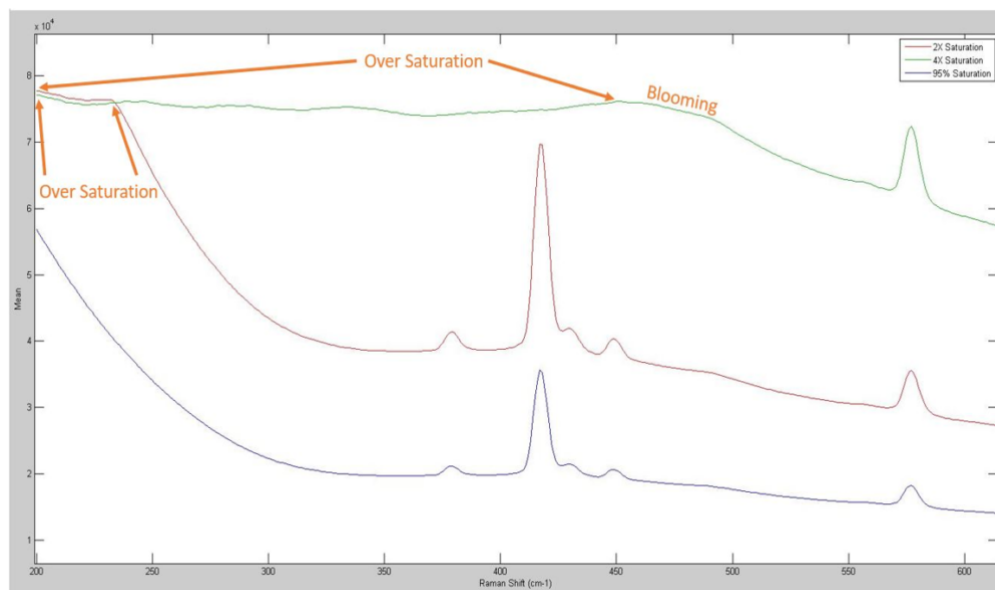


图7 饱和和泛化

2X饱和光谱（红色）显示高达250  $\text{cm}^{-1}$ 左右的饱和度以及饱和后可能出现晕染的证据。4X饱和光谱显示高达450  $\text{cm}^{-1}$ 的饱和度证据和450-525  $\text{cm}^{-1}$ 的晕化证据。重要的是要注意位于大约420  $\text{cm}^{-1}$ 处的蓝宝石峰。显示的最突出的峰位于 95% 饱和度水平。在 2X 饱和度水平，它仍然是最突出的峰值。然而，在 4X 饱和度水平下，由于 CCD 过饱



和，该峰缺失。实际上，0-550  $\text{cm}^{-1}$ 的所有峰都由于饱和和晕染而“消失”。

- 图8显示了感兴趣的峰，即咖啡因光谱的1050-1080  $\text{cm}^{-1}$ 区域，处于三个不同的饱和度水平。检测器增加的饱和度水平增加了感兴趣区域的信号。因此，这提供了有关分析物的更多信息。

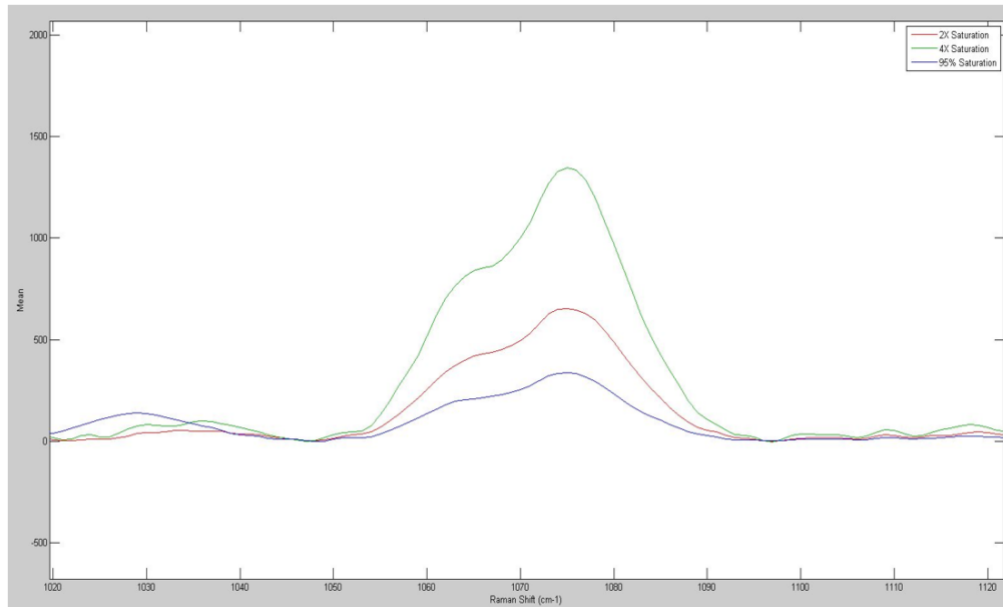


图8 咖啡分析物的光谱

- 图9显示了相同光谱的一个区域，该区域不应包含分析物信息。然而，随着饱和度的增加，该区域的峰值明显增加。通过增加曝光时间，光谱中所有未饱和区域的峰值都会增加。这包括噪音和任何宇宙辐射撞击。从这个演示中得出的结论是，将检测器增加到超过其饱和极限可以增加感兴趣的峰，但也会增加光谱中的噪声和伪影水平。

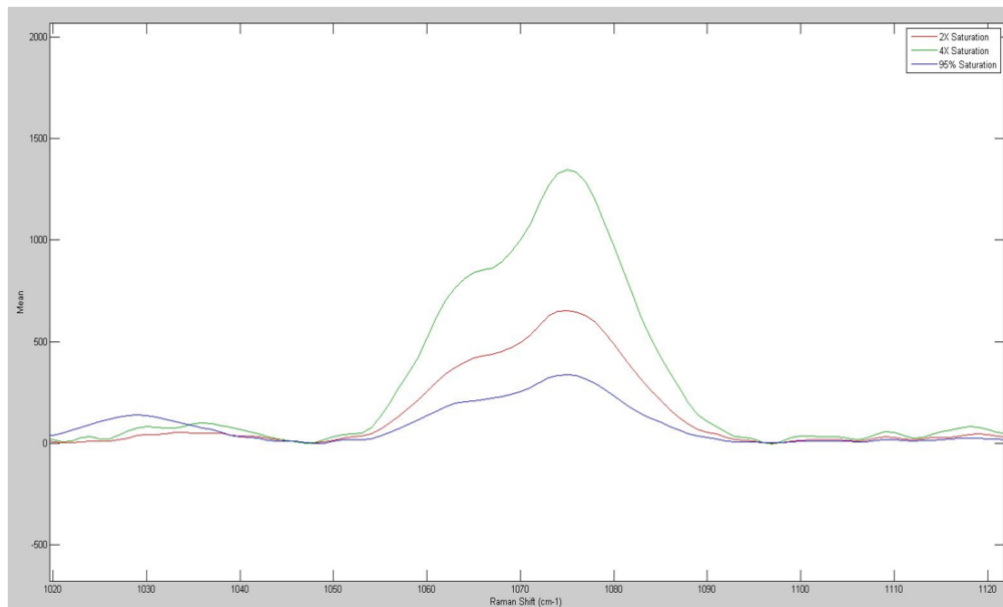


图9 咖啡光谱中的噪声

- 经常使 CCD 过饱和的另一个潜在问题是可能损坏其光敏表面。几乎所有CCD制造商都警告不要让相机长期处于饱和状态。
- **建议：** 如果需要更好地测量拉曼光谱中的弱峰或者波段，建议增加平均数而不是增加曝光时间。虽然拉曼峰不会显得更强，但噪音水平会因平均数的增加而降低，因此即使是弱峰也能从化学计量学分析中获得出色的定量结果。
- 一般在光谱仪中光子的收集由参数“Stop T”，“Repeat”，“Overflow”。
  - 如果设置了“Stop T”，那么测量就会在“收集时间”结束时停止；
  - 如果设置了“Stop T”和“Overflow”，，则会在第一次溢出时停止。
  - 如果设置了两个停止条件，则在两种情况下测量都停止。
    - 在没有任何停止条件的情况下，测量将继续运行，知道操作员停止。
    - 如果结果超出范围  $0 \sim 65535$ ，则会裁剪超出部分。
  - 如果要收集超过65535个光子，提供了“Corrent Overflow”功能，测量的时候在每次溢出的时候传输到PC内存，并添加到已经存在的数据中。然后清除测量数据存储器和重新开始测量。当收集时间结束的时候，将结果除以溢出数，并将其写回测量存储器。

#### • 拉曼光谱预处理算法？

◦ 基线校正（Baseline Correction）：基线校正是预处理中最常见的步骤之一，目的是消除样品或仪器的基线偏移。常用的基线校正方法包括多项式拟合、基于小波变换的方法等。

- 多项式拟合法（Polynomial Fitting）：该方法通过拟合拉曼光谱信号的多项式来估计基线，并将其从原始光谱信号中减去。多项式拟合的阶数通常由用户根据实际情况进行选择。
  - 在Matlab中，可以使用polyfit函数对拉曼光谱数据进行多项式拟合，并实现基线校正。polyfit函数的使用方法如下：

```
% x为自变量，y为因变量，n为多项式阶数
p = polyfit(x, y, n);
% p为拟合得到的多项式系数，使用polyval函数计算拟合曲线
y_fit = polyval(p, x);
% 对原始光谱数据进行基线校正
y_baseline_corrected = y - y_fit;
```

- 其中，polyfit 函数通过拟合数据的多项式系数来估计光谱的基线，polyval 函数用于计算拟合得到的多项式曲线，最终的基线校正通过将拟合得到的曲线从原始光谱数据中减去来实现。
- 需要注意的是，多项式的阶数需要根据实际数据情况进行选择，阶数太低会导致基线拟合不准确，而阶数太高会导致过拟合和噪声引入。通常建议选择3-5阶的多项式进行拟合。
- 下面是一个简单的示例代码，以3阶多项式拟合为例：



```

% 读取拉曼光谱数据
data = load('raman_spectrum.dat');
x = data(:,1); % 波数
y = data(:,2); % 强度

% 进行多项式拟合
n = 3; % 多项式阶数
p = polyfit(x, y, n);
y_fit = polyval(p, x);

% 基线校正
y_baseline_corrected = y - y_fit;

% 绘制结果
plot(x, y);
hold on;
plot(x, y_fit, 'r--');
plot(x, y_baseline_corrected, 'g');
legend('原始光谱', '拟合基线', '基线校正后光谱');
xlabel('波数 (cm-1)');
ylabel('强度');

```

- 最小二乘法 (Least-Squares)：该方法通过最小化原始拉曼光谱与拟合基线之间的误差来估计基线。这种方法可以在多项式拟合的基础上进一步优化基线估计效果。
  - 基线校正的最小二乘法是一种常用的基线校正方法，可以通过求解一个最小二乘问题来拟合光谱的基线。在Matlab中，可以使用 `lsqcurvefit` 函数来实现最小二乘法基线校正。具体实现方法如下：

```

% 读取拉曼光谱数据
data = load('raman_spectrum.dat');
x = data(:,1); % 波数
y = data(:,2); % 强度

% 定义拟合函数
f = @(p, x) polyval(p, x);

% 初始参数猜测, 可以设置为一个3阶多项式的系数
p0 = polyfit(x, y, 3);

% 进行最小二乘拟合
p = lsqcurvefit(f, p0, x, y);

% 计算拟合曲线
y_fit = polyval(p, x);

% 基线校正
y_baseline_corrected = y - y_fit;

% 绘制结果
plot(x, y);
hold on;
plot(x, y_fit, 'r--');
plot(x, y_baseline_corrected, 'g');
legend('原始光谱', '拟合基线', '基线校正后光谱');
xlabel('波数 (cm-1)');
ylabel('强度');

```

- 其中, `lsqcurvefit` 函数用于求解最小二乘问题, 第一个参数为拟合函数, 第二个参数为初始参数猜测, 第三个和第四个参数分别为自变量和因变量。需要注意的是, 初始参数猜测需要根据实际数据情况进行选择, 不同的初始猜测可能会导致最终结果不同。通常建议将初始猜测设置为一个3阶多项式的系数。另外, `polyval` 函数用于计算拟合得到的多项式曲线, 最终的基线校正通过将拟合得到的曲线从原始光谱数据中减去来实现。
- 索贝列夫滤波法 (Savitzky-Golay Filter) : 该方法是一种数字信号处理中常用的平滑滤波技术。索贝列夫滤波法可以通过一系列滑动窗口来拟合光谱信号, 从而估计基线并减去。
- Savitzky-Golay滤波法是一种常用的基线校正方法, 可以通过对光谱数据进行滑动窗口平滑处理来估计光谱的基线。在Matlab中, 可以使用 `sgolayfilt` 函数来实现Savitzky-Golay滤波法的基线校正。具体实现方法如下:

```

% 读取拉曼光谱数据
data = load('raman_spectrum.dat');
x = data(:,1); % 波数
y = data(:,2); % 强度

% 滤波器的窗口大小和多项式阶数，需要根据实际情况进行选择
window_size = 21;
poly_order = 3;

% 进行Savitzky-Golay滤波
y_baseline = sgolayfilt(y, poly_order, window_size);

% 基线校正
y_baseline_corrected = y - y_baseline;

% 绘制结果
plot(x, y);
hold on;
plot(x, y_baseline, 'r--');
plot(x, y_baseline_corrected, 'g');
legend('原始光谱', '滤波后基线', '基线校正后光谱');
xlabel('波数 (cm-1)');
ylabel('强度');

```

- 其中，`sgolayfilt` 函数用于对光谱数据进行Savitzky-Golay滤波，第一个参数为待滤波的数据，第二个参数为滤波器的多项式阶数，第三个参数为滤波器的窗口大小。需要注意的是，滤波器的窗口大小和多项式阶数需要根据实际情况进行选择，不同的参数选择可能会导致最终结果不同。通常建议选择一个合适的窗口大小和多项式阶数，以达到较好的基线校正效果。另外，基线校正通过将滤波得到的基线从原始光谱数据中减去来实现。
- 傅里叶变换法（Fourier Transform）：该方法将拉曼光谱信号转换到频域，通过选择低频成分来估计基线。该方法对于复杂光谱信号的处理效果较好。
- 基于傅里叶变换的基线校正方法可以通过去除光谱数据中低频部分的信号来实现。在Matlab中，可以使用 `fft` 函数来实现傅里叶变换，从而实现基线校正。具体实现方法如下：

```

% 读取拉曼光谱数据
data = load('raman_spectrum.dat');
x = data(:,1); % 波数
y = data(:,2); % 强度

% 进行傅里叶变换
y_fft = fft(y);
n = length(y);
f = (0:n-1)*(1/(x(2)-x(1)))/n; % 傅里叶变换的频率

% 滤除低频信号，只保留高频信号
f_cutoff = 500; % 低频信号的截止频率
y_fft(f < f_cutoff) = 0;

% 进行逆傅里叶变换，得到基线校正后的光谱
y_baseline_corrected = real(ifft(y_fft));

% 绘制结果
plot(x, y);
hold on;
plot(x, y_baseline_corrected, 'r');
legend('原始光谱', '基线校正后光谱');
xlabel('波数 (cm-1)');
ylabel('强度');\

```

- 其中，fft函数用于对光谱数据进行傅里叶变换， ifft 函数用于进行逆傅里叶变换，从而得到基线校正后的光谱。在进行傅里叶变换之前，需要根据实际情况选择低频信号的截止频率。截止频率越高，则保留的高频信号就越多，滤除的低频信号就越少，基线校正效果就越好。但是，如果截止频率设置过高，可能会将光谱中的一些有用信息滤除掉，因此需要根据实际情况进行选择。
- 小波变换法 (Wavelet Transform)：该方法通过多尺度分解将光谱信号分解为不同的频带，并通过选择适当的频带来估计基线。该方法可以有效地去除光谱信号中的高频噪声和干扰。
  - 小波变换是一种基于信号局部特征的变换方法，可以用于信号的去噪、压缩和基线校正等应用。在基线校正中，小波变换可以通过将光谱信号分解为低频和高频部分，从而去除基线信号中的低频部分，达到基线校正的目的。在Matlab中，可以使用 wdenoise函数实现小波变换的基线校正。具体实现方法如下：

```

% 读取拉曼光谱数据
data = load('raman_spectrum.dat');
x = data(:,1); % 波数
y = data(:,2); % 强度

% 进行小波变换
wname = 'db4'; % 小波基函数
level = 5; % 分解层数
[coeff, l] = wavedec(y, level, wname);

% 提取低频部分
a5 = wrcoef('a', coeff, l, wname, 5);
a4 = wrcoef('a', coeff, l, wname, 4);
a3 = wrcoef('a', coeff, l, wname, 3);
a2 = wrcoef('a', coeff, l, wname, 2);
a1 = wrcoef('a', coeff, l, wname, 1);

% 对低频部分进行平滑
a1_smooth = smooth(a1);

% 重构信号
coeff(1:length(a1)) = a1_smooth;
y_baseline_corrected = waverec(coeff, l, wname);

% 绘制结果
plot(x, y);
hold on;
plot(x, y_baseline_corrected, 'r');
legend('原始光谱', '基线校正后光谱');
xlabel('波数 (cm-1)');
ylabel('强度');

```

- 其中，`wavedec` 函数用于对光谱数据进行小波分解，`wrcoef` 函数用于提取低频部分，`smooth` 函数用于对低频部分进行平滑，`waverec` 函数用于重构信号，从而得到基线校正后的光谱。
- 在进行小波分解之前，需要根据实际情况选择小波基函数和分解层数。选择不同的小波基函数和分解层数，可能会对基线校正效果产生不同的影响。需要根据实际情况进行选择。
- 噪声过滤 (Noise Reduction)：拉曼光谱数据中通常会存在一些噪声，如荧光、仪器噪声等。噪声过滤的目的是去除这些噪声，以便更好地分析拉曼光谱信号。常用的噪声过滤方法包括小波去噪、谱间差异法等。
  - 小波去噪是基于小波变换的一种信号去噪方法，可以在基线校正中用于过滤光谱信号中的噪声。在Matlab中，可以使用`wdenoise`函数实现小波去噪。具体实现方法如下：

```

% 读取拉曼光谱数据
data = load('raman_spectrum.dat');
x = data(:,1); % 波数
y = data(:,2); % 强度

% 对光谱信号进行小波去噪
wname = 'db4'; % 小波基函数
level = 5; % 分解层数
y_denoised = wdenoise(y, level, 'Wavelet', wname);

% 绘制结果
plot(x, y);
hold on;
plot(x, y_denoised, 'r');
legend('原始光谱', '去噪后光谱');
xlabel('波数 (cm-1)');
ylabel('强度');

```

其中，`wdenoise` 函数用于对光谱信号进行小波去噪，`level`参数表示小波分解的层数，`wname` 参数表示选择的小波基函数。去噪后的光谱信号可以通过 `y_denoised` 变量获得。需要注意的是，选择不同的小波基函数和分解层数，可能会对去噪效果产生不同的影响。需要根据实际情况进行选择。

- 谱间差异法（SNIP）是一种基于峰与谷的信号分解算法，可以用于拉曼光谱中的基线校正和噪声过滤。在Matlab中，可以使用`snip`函数实现SNIP算法。具体实现方法如下：

```

% 读取拉曼光谱数据
data = load('raman_spectrum.dat');
x = data(:,1); % 波数
y = data(:,2); % 强度

% 对光谱信号进行SNIP噪声过滤
niter = 10; % 迭代次数
y_filtered = snip(y, niter);

% 绘制结果
plot(x, y);
hold on;
plot(x, y_filtered, 'r');
legend('原始光谱', 'SNIP噪声过滤后光谱');
xlabel('波数 (cm-1)');
ylabel('强度');

```

其中，`snip` 函数用于对光谱信号进行SNIP噪声过滤，`niter` 参数表示迭代次数。噪声过滤后的光谱信号可以通过 `y_filtered` 变量获得。需要注意的是，SNIP算法在实际应用中可能需要根据不同的光谱数据进行调整，以获得最佳的噪声过滤效果。

- 数据标准化 (Data Normalization) : 数据标准化是将拉曼光谱数据缩放到相同的尺度或范围, 以便进行比较和分析。常用的数据标准化方法包括标准正态分布、最小-最大规范化等。
- 偏差校正 (Spectral Residual Correction) : 偏差校正是校正拉曼光谱数据中的非线性光谱响应, 以便更准确地分析光谱信号。常用的偏差校正方法包括二次多项式拟合、B-Spline插值等。
- 特征提取 (Feature Extraction) : 特征提取是从拉曼光谱数据中提取有用信息的过程, 以便更好地区分不同样品之间的差异。常用的特征提取方法包括主成分分析 (PCA)、独立成分分析 (ICA) 等。